

Primljen / Received: 22.7.2022.
 Ispravljen / Corrected: 11.10.2022.
 Prihvaćen / Accepted: 20.12.2022.
 Dostupno online / Available online: 10.3.2023.

Potencijalna valorizacija otpadne čelične zgure kao alternativnog materijala za kolničke slojeve

Autori:



¹Mr.sc. Lahcen Es-Samlali
Lahcen.es-samlali@ced.uca.ma

Autor za korespondenciju



²Doc.dr.sc. Yassine El Haloui
elhaloui.y@ucd.ac.ma



³Mustapha Amrani, dipl.iing.građ.
mustapha.amrani@ced.uca.ma



¹Prof.dr.sc. Fahd Oudrhiri-Hassani
f.oudrhiri.hassani@uca.ma



⁴Prof.dr.sc. Abdelmounaim Tlidi
atlidi@uae.ac.ma



⁵Izv.prof.dr.sc. Abderrahmane Bekri
a.bekri@ext.uic.ac.ma

¹Sveučilište Cadi Ayyad u Marakešu, Maroko
 LMPEQ Labotary

²Sveučilište Chouaib Doukkali u El Jadidi, Maroko

³Sveučilište Cadi Ayyad, Maroko

Fakultet znanosti i tehnologije

⁴Sveučilište Abdelmalek Essadi, Maroko

⁵Laboratorij za industrijske analize, Maroko

Prethodno priopćenje

[Lahcen Es-Samlali, Yassine EL Haloui, Mustapha Amrani, Fahd Oudrhiri-Hassani, Abdelmounaim Tlidi, Abdderahman Bekri](#)

Potencijalna valorizacija otpadne čelične zgure kao alternativnog materijala za kolničke slojeve

Cilj ovog rada istražiti izvedivost korištenja otpadne čelične zgure kao zamjenskog materijala za slojeve kolničke konstrukcije (nosive slojeve). Ovaj se otpad skladišti i odlaže na odlagalište na lokaciji za proizvodnju čelika u JORF LASFAR-u, u gradu El Jadida, Maroko. Prikupljeni su uzorci otpada koji su podvrnuti standardnim ispitivanjima kako bi se utvrdila njihova fizikalna, kemijska, mineraloška i geotehnička svojstva. Nadalje, otpadna čelična zgura ne može se koristiti samostalno u slojevima kolničke konstrukcije zbog niskog udjela sitnog agregata. Prirodni materijal (otpad od drobljenja kamenja) upotrijebljen je s otpadnom čeličnom zgurom kako bi se postigla zahtijevana granulometrijska krivulja. Napravljeno je ukupno pet različitih mješavina čelične zgure (SS) i prirodnog agregata (ST) u sljedećim omjerima (% SS: % ST): M1 (30:70), M2 (40:60), M3 (50:50), M4 (60:40), i M5 (70:30). Provedena su geotehnička i mehanička ispitivanja svake pojedinačne mješavine, uključujući i mješavine M4 i M5, kako bi se utvrdilo ispunjavaju li te mješavine uvjete da bi se koristile u gornjim nosivim slojevima. Mješavine oznaka od M2 do M5 također su imale svojstva koja su potrebna za materijal donjih nosivih slojeva. Na kraju je provedena analiza dimenzioniranja kolničke konstrukcije kako bi se dobila deblijina slojeva koji sadrže formulirane mješavine, za koje je utvrđeno da su slične deblijinama konvencionalnih materijala.

Ključne riječi:

čelična zgura, valorizacija, tehnologija izgradnje cesta, nosivi sloj, mehanička svojstva

Research Paper

[Lahcen Es-Samlali, Yassine EL Haloui, Mustapha Amrani, Fahd Oudrhiri-Hassani, Abdelmounaim Tlidi, Abdderahman Bekri](#)

Potential valorisation of steel slag waste as an alternative material for pavement layers

This paper aims to investigate the feasibility of using steel slag waste as an alternative material for pavement layers (sub-base and base layers). This waste is stored and landfilled at a steel production site in JORF LASFAR, city of El Jadida, Morocco. Samples of the waste were collected and underwent standard tests to determine its physical, chemical, mineralogical, and geotechnical properties. Furthermore, the steel slag waste cannot be used alone in pavement layers because of the low fraction of fine aggregates. Additionally, a sterile raw material (rock crushing waste) was used with the steel slag waste to obtain the required particle size distribution. Five mixtures of steel slag (SS) and sterile (ST) were formulated using the following proportions (% SS: % ST): M1 (30:70), M2 (40:60), M3 (50:50), M4 (60:40), and M5 (70:30). Geotechnical and mechanical standard tests were conducted on each mixture, including the M4 and M5 mixtures, to determine whether they met the required properties for a material used in the base layer. M2 to M5 mixtures also had the necessary properties for the sub-base layer. Finally, a sizing study was performed to obtain the thickness of pavement layers containing the formulated mixtures, which were found to be close to those of conventional materials.

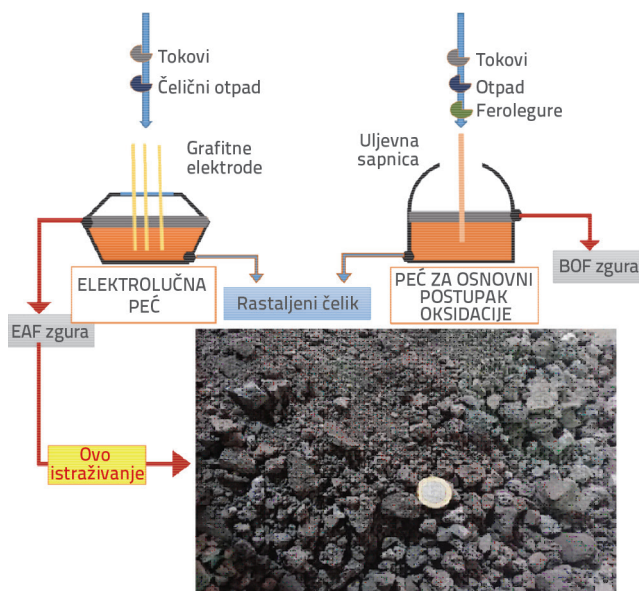
Key words:

steel slag, valorisation, road technology, base course, mechanical performance

1. Uvod

1.1. Proizvodnja čelične zgure

Otpad od čelične zgure (engl. *steel slag* - SS) je nusproizvod dobivanja čelika koji nastaje tijekom faze odvajanja rastaljenog čelika od nečistoća u pećima za proizvodnju čelika. Zgura se javlja kao rastaljena tekućina, a radi se o složenoj otopini oksida i silikata koja se stvaraju nakon hlađenja [1]. Nusproizvodi se svrstavaju u dvije skupine: kisikov konvektor (engl. *Basic Oxygen Furnace* - BOF) i elektrolučne peći (engl. *Electric arc Furnace* - EAF) [2]. Kisik pod visokim tlakom ubrizgava se u peć koja tijekom BOF procesa sadrži vrući tekući metal iz visokih peći, a koji se sastoji od vapna i dolomitnog vapna. Kisik uklanja nečistoće iz naboja [1]. Te se nečistoće sastoje od ugljika u obliku plinovitog ugljičnog monoksida silicija, mangana, fosfora i željeza u obliku tekućih oksida, koji se spajaju s vapnom i dolomitnim vapnom i čine čeličnu zguru [1]. Prema Reesu [3], EAF koristi hladni otpadni čelik, sirovo željezo i željezo dobiveno izravnom redukcijom. Uvodi se električni luk kako bi se dobilo dovoljno topline za topljenje otpada. Električna struja prolazi kroz tri grafitne elektrode i formira ovaj luk. Tijekom procesa taljenja čeliku se dodaju i drugi minerali (željezne legure) kako bi postigao potreban kemijski sastav. Nadalje, kisik se također ubrizgava u svrhu pročišćavanja čelika. Na kraju se plutajuća čelična zgura odvaja od površine rastaljenog čelika (c). Osnovni koraci proizvodnje čelične zgure prikazani su na slici 1.



Slika 1. Shema peći za osnovni postupak oksidacije i elektrolučne peći

Prema Barriju [4], proizvodnja tri tone nehrđajućeg čelika stvara približno jednu tonu čelične zgure (SS). Stoga se u industriji čelika često stvaraju goleme količine otpada. Osim toga, industrije čelika diljem svijeta proizvedu pedeset milijuna tona otpadne čelične zgure svake godine. Samo se u Europi godišnje proizvede približno dvanaest milijuna tona otpadne čelične

zgure [5]. Industrija čelika u Maroku godišnje proizvede približno 115.000 tona čelične zgure. Taj se otpad najčešće skladišti na odlagalištima namijenjenim u tu svrhu na njegovom mjestu proizvodnje ili u blizini. Međutim, takvo skladištenje negativno utječe na okoliš i predstavlja rizik za ljudsko zdravlje. Osim toga, obnova ovih brana i akumulacijskih zona vrlo je skupa.

1.2. Pregled literature

Valorizacija otpada u građevinarstvu postala je učinkovit način gospodarenja otpadom i smanjenja njegova utjecaja na okoliš i ljudsko zdravlje [6-8]. Ponovna uporaba i recikliranje otpadne čelične zgure u građevinarstvu zanimljiva je opcija za njegovo gospodarenje. Nadalje, provedena su mnoga istraživanja kako bi se pokazala potencijalna ponovna uporaba ovog otpada. Istraživanja su provedena za različite sektore građevinarstva, uključujući tlo, cement, beton i kolničke konstrukcije. Aziz i sur. [9] pokazali su da čelične zgure nude idealnu izdržljivost, propusnost, stabilnost i otpornost na habanje, raspucavanje i trajnu deformaciju tijekom primjena u tlu. Stoga bi čelične zgure mogle pružiti fizikalna i mehanička svojstva koja su jednaka ili bolja od prirodnih agregata. Unatoč nestabilnosti volumena i visokoj specifičnoj težini čelične zgure, ona posjeduje korisna svojstva kao što su samokarburiziranje i veliki kut unutarnjeg trenja za stabilizaciju i jačanje tla. Isaac Akinwumi [10] pokazao je da dodavanje 8 % usitnjene čelične zgure lateritnom tlu poboljšava nevezanu čvrstoću tla kako bi se osiguralo da se njegov neposredni CBR poveća za 40 %, a njegova tlačna čvrstoća iznosi 66,7 kN/m². Nadalje, granice tečenja i plastičnosti, kao i indeks plastičnosti, smanjeni su za 6,3, 4,0 i 2,3 %. Iskorištavanjem pucolanskih reakcija i superiornih mehaničkih svojstava EAF zgure se postiže značajna čvrstoća stabiliziranog tla u svrhu smanjenja troškova smanjenjem potrebe za cementom. Shahbazi i sur. [11] pokazali su da upotreba 16 % čelične zgure i otpadnih vlakana od tepiha kao aditiva smanjuje bubreњe i poboljšava mehanička svojstva ekspanzivnog tla. Wang i sur. [12] prikazali su da se otpornost na djelovanje vode tla stabiliziranog čeličnom zgurom povećava s povećanjem stupnja zbijenosti i sadržaja čelične zgure. Abdalqadir i Salih [13] pokazali su da je dodavanje 10 % do 20 % čelične zgure i 10 % do 15 % drobljenog vapnenca poboljšalo geotehnička svojstva ekspanzivnog tla. Cikmit i sur. [14] istraživali su bubreњe čelične zgure pomiješane s mekom morskom glinom i utvrđili da je dodavanje 60 % čelične zgure omogućilo dobivanje snažnog geomaterijala, a istovremeno je bilo u skladu s dopuštenim bubreњem.

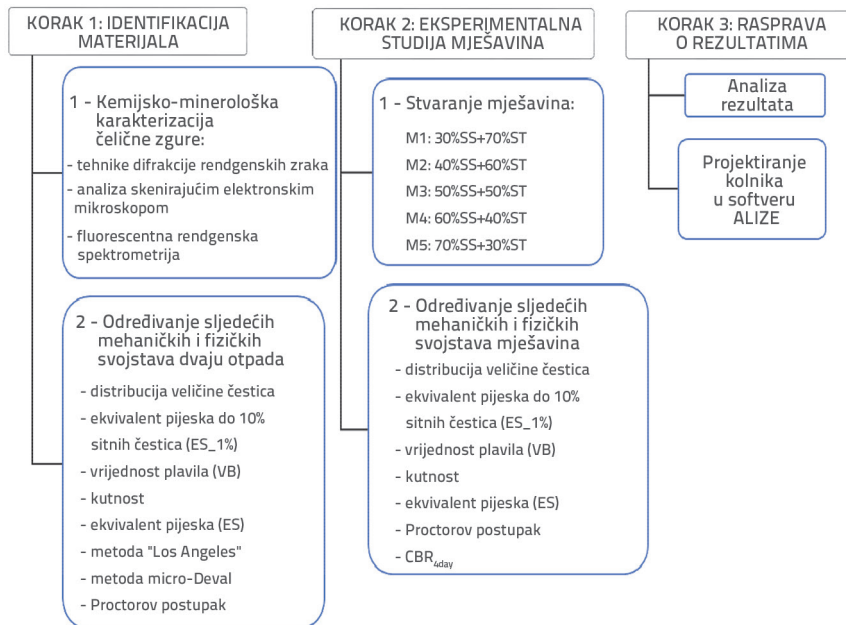
Zhang i sur. [15] pokazali su da je tlačna čvrstoća kompozitnog cementa koji sadrži 40 % čelične zgure usporediva s cementom 42,5R u primjenama cementa. Prema studiji Gaoa i sur. [16], korištenje čelične zgure za proizvodnju klinkera pokazalo je da je maksimalna količina čelične zgure koja se može dodati sirovinskom brašnu 14,30 %. Xiang i sur. [17] predstavili su metodu korištenja čelične zgure (bez mljevenja u fini prah) za pripremu bescementnog cementirajućeg materijala za postizanje tlačne čvrstoće morta od 70 MPa.

Čelične zture korištene su kao alternativni agregat u betonskim mješavinama za građevinske primjene. Beton ultravisokih uporabnih svojstava, sastavljen od praha čelične zture i agregata čelične zture, pružio je zadovoljavajuću tlačnu čvrstoću sa stopom zamjene cementa manjom od 10 [18]. Nadalje, korištenje preostale čelične zture u betonu kao zamjene za konvencionalne krupne aggregate pokazalo je da agregati zture nude značajno poboljšanje tlačne čvrstoće od 18 % nakon sedam dana i 16,8 % nakon 28 dana u usporedbi s konvencionalnim betonom [19]. Prema Wangu i sur. [20], upotreba 100 % čelične zture u betonu poboljšava njegovu tlačnu i vlačnu čvrstoću pri cijepanju, povećavajući ih za 35 % odnosno 50 %. Prema Shenu i sur. [21], porozni beton od karbonizirane čelične zture uštedio je 75,8 % troškova materijala jer se radilo o 100 % krutom otpadu, a apsorbirao je oko $100 \text{ kg/m}^3 \text{ CO}_2$, što se pokazalo kao ekološki prihvativljiv pristup.

Maghool i sur. [22] proveli su niz testova karakterizacije za procjenu tehničkih svojstava čelične zture za njenu upotrebu kao materijala za nosivi sloj kolničke konstrukcije. Rezultati pokazuju da su tehnička svojstva čelične zture slična ili čak bolja od svojstava tipičnih materijala iz kamenoloma. Gao i sur. [23] pokazali su veliku iskoristivost uporabe čelične zture u asfaltnim mješavinama za mikrovalno odleđivanje, što je korisno za ublažavanje nedostatka prirodnih aggregate i poboljšanje sigurnosti cestovnog prometa zimi. Kolnički sloj s čeličnom zgurom također je pokazao izvrsne performanse u pogledu hrapavosti i hvatljivosti (eng. *British Pendulum Number*) [24]. Prema Kimu i sur. [25], poboljšano je ponašanje vruće bitumenske mješavine koja sadrži aggregate čelične zture u smislu dinamičkog modula i otpornosti na kolotraženje. Dondi i sur. [26] pokazali su da je uporaba čelične zture učinkovita za izgradnju cjelokupne kolničke konstrukcije, bilo u slojevima vezanim cementom ili u grupi asfaltnih slojeva. Primjena optimalne mješavine od 4,5 % bitumena i 30 % zture povećava krutost mješavina.

1.3. Opseg istraživanja

Pregled literature pokazao je da je provedeno vrlo malo istraživanje o potencijalu izravne oporabe otpadne čelične zture u nosivim slojevima ceste i nasipima. Osim toga, takva otpadna čelična ztura ima svoje posebne značajke i potrebno ju je okarakterizirati. Stoga se ovim istraživanjem procjenjuje



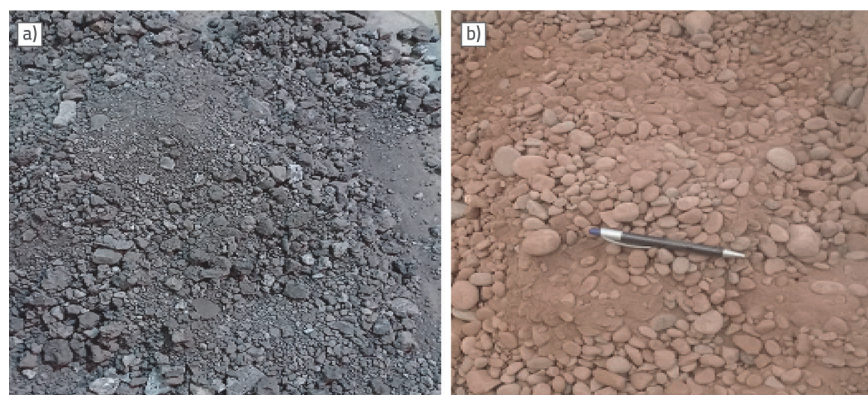
Slika 2. Osnovni koraci istraživanja

održiva uporabljivost čelične zture kao alternativnog materijala za izgradnju cesta. Istraživali smo potencijal korištenja ovog otpada u gornjim i donjim nosivim slojevima. Prvi korak tog istraživanja provoden je izvođenjem kemijske i mineraloške karakterizacije čelične zture. U drugom koraku razmatrana su fizičke i mehaničke karakteristike pet mješavina koje sadrže otpadnu čeličnu zturu pomiješanu s prirodnim agregatom (eng. *Sterile - ST*) (otpad nastao u kamenolomima prilikom proizvodnje materijala za izgradnju cesta). Treći korak predstavlja raspravu o rezultatima u vezi s održivom uporabom čelične zture. Slika 2. sažima osnovne korake istraživanja.

2. Materijali i metode

2.1. Sirovine

U ovom su radu razmatrane dvije vrste otpada. Prva vrsta prikazana je na slici 3.a. Radi se o otpadnoj industrijskoj

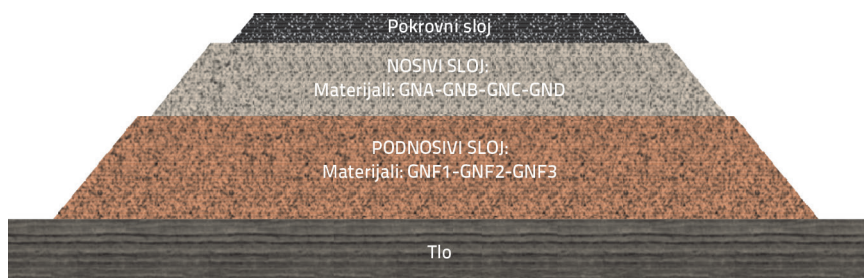


Slika 3. Sirovine: a) čelična ztura (SS); b) prirodni agregat (ST)

čeličnoj zguri prikupljenoj s odlagališta Eljorf Sfar, koje se nalazi u regiji El Jadida, Maroko. Velike količine zgure iz čeličane Eljorf Sfar zakopane su na velikom području tijekom dugog razdoblja proizvodnje čelika recikliranjem starog željeza. Druga vrsta otpada je prirodni agregat i prikazana je na slici 3.b. Proizvodi se tijekom procesa proizvodnje materijala za cestogradnju drobljenjem riječnog šljunka. Tijekom toga procesa dolazi do prosijavanja kako bi se eliminirali sitni elementi prašine i nepotrebni elementi koji proizvode otpad. Potonje vrste su otpadni kamen (ST) koje su prikupljene u kamenolomima na istom području.

2.2. Metode ispitivanja

Primjenjena je difrakcija rendgenskih zraka (engl. *X-ray diffraction* - XRD), analiza skenirajućim elektronskim mikroskopom (engl. *scanning electron microscope* - SEM) i fluorescentna rendgenska spektrometrija (engl. *X-ray fluorescence spectrometry* - XRF) za kemijsku i mineralošku karakterizaciju čelične zgure. Uzorci svake vrste materijala uzeti su s različitih mjesta deponiranja. Nadalje, materijal je pomiješan za svaku vrstu, homogeniziran i podijeljen na manje poduzorke prije ispitivanja u laboratoriju. Proveli smo niz testova u laboratoriju kako bismo odredili fizikalne i mehaničke karakteristike čelične zgure (SS) i prirodnog agregata (ST). Za određivanje stvarnih gustoća primjenjena je metoda s piknometrom prema normi NF EN 1097-6 [27]. Određivanje granulometrijske krivulje provedeno je na uzorcima suhim prosijavanjem za čestice promjera većeg od 80 µm prema normi NF EN 933-1 [28]. Indeks plastičnosti (engl. *plasticity index* - PI) uzorka određen je mjerjenjem Atterbergovih granica prema normi NF EN ISO 17892-12 [29]. Ispitivanje ekvivalenta pjeska provedeno je na temelju



Slika 4. Primjer kolničke konstrukcije

specifikacije norme P18-598 za mjerjenje čistoće pjeska i dobivanje općenite ideje o količini i kvaliteti sitnih elemenata [30]. Određivanje optimalnog udjela vode i maksimalne suhe gustoće provedeno je Proctorovim postupkom na frakciji 0/200 mm prema normi NF P94-093. Za mjerjenje bubrenja uzorka korišteni su mikroura i CBR kalup (nakon 15 dana potapanja u vodi). Osim toga, proveden je CBR test kako bi se odredila nosivost materijala nakon zbijanja i optimalan udio vode, prema normi NF P 94-078 [32]. Otpornost agregata na predoblaganje određena je ispitivanjem metodom "Los Angeles" prema normi NF P 18-573 [33]. Otpornost agregata na habanje mjerena je Micro-Deval ispitivanjem prema normi NF P18-572 [34].

2.3. Ciljani materijali

Fleksibilna kolnička konstrukcija najčešća je vrsta kolnika u Maroku. Osim toga, ova se struktura sastoji od zastora te gornjih i donjih nosivih slojeva, kao što je prikazano na slici 4. U ovom su istraživanju ciljani materijali, za čiju se zamjenu koristi otpadna čelična zgura, nevezani šljunčani materijali. Gornji nosivi slojevi izvode se od nevezanog šljunka tipa GNA, GNB, GNC i GND. Nevezani šljunak koji se razmatra za donje nosivie slojeve je GNF1, GNF2 i GNF3. Odabir ove vrste nevezanog šljunka za slojeve temelji se na dimenzioniranju kolnika. Svaki materijal okarakteriziran je mnogim

Tablica 1. Zahtijevana svojstva neobrađenih šljunčanih materijala za kolničke slojeve

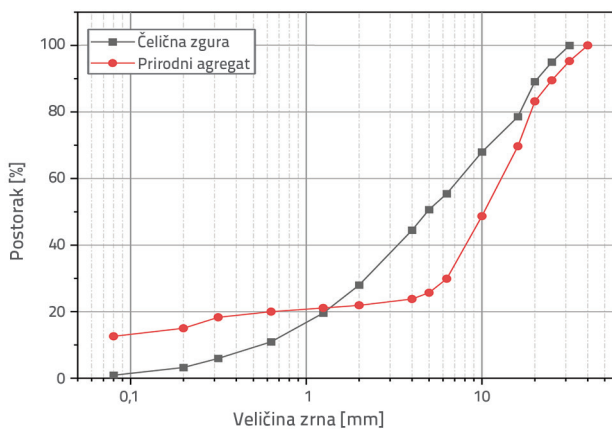
| Materijal | Mehanička svojstva [%] | Uglatost zrna, I_c [%] | Čistoća | Postotak prolaska [%] | | | | | | | |
|-----------|------------------------|--------------------------|---------------------------------------|-----------------------|-----|-----------|----------|----------|----------|----------|---------|
| | | | | 60 | 40 | 31,5 | 20 | 10 | 6,3 | 2 | 0,08 |
| GNA | LA < 30; MDE < 20 | $I_c > 100$ | ES(0/5) > 30 ES(0/2) > 45 VB < 1,5 | - | 100 | 85 do 100 | 62 do 90 | 35 do 62 | 25 do 50 | 14 do 34 | 2 do 10 |
| GNB | LA < 30; MDE < 20 | $I_c > 35$ | | | | | | | | | |
| GNC | LA < 35; MDE < 30 | $I_c > 30$ | VB < 1,5 IP < 12 | | 100 | - | 52 do 87 | 35 do 70 | 25 do 60 | 13 do 38 | 2 do 10 |
| GND | LA < 40; MDE < 35 | Dopušteno kotrljanje | | | | | | | | | |
| GNF1 | LA < 30; MDE < 25 | $I_c > 60$ | ES(0/5) > 30 IP < 6 VB < 1,5 | - | 100 | - | 60 do 90 | 40 do 70 | 33 do 64 | 20 do 48 | 2 do 14 |
| GNF2 | LA < 40; MDE < 35 | $I_c > 30$ | | | | | | | | | |
| GNF3 | LA < 50; MDE < 45 | bezuvjetna | | | | | | | | | |

specifičnim svojstvima, uključujući granulometrijsku krivulju, oblik zrna agregata, čistoću, nosivost, mehaničku otpornost itd. Svojstva svakog razmatranog materijala navedena su u tablici 1. Nadalje, cilj je ovog istraživanja utvrditi prethodno navedena svojstva nekoliko projektiranih mješavina SS i ST otpada (sedam mješavina) te odrediti mješavine koje mogu zamijeniti nevezani šljunak (GNA-B-C-D i GNF1-2-3).

3. Rezultati i rasprava

3.1. Karakterizacija čelične zgure i prirodnog agregata

Prvi dio karakterizacije materijala usredotočen je na određivanje geotehničkih svojstava SS-a i ST-a. Osim toga, izmjerena je specifična težina i utvrđeno je da iznosi približno $3,26 \text{ T/m}^3$, što je približno težini neobrađenog šljunčanog materijala. Određivanje granulometrijske krivulje provedeno je za oba materijala, a rezultati su prikazani na slici 5.



Slika 5. Granulometrijske krivulje čelične zgure i prirodnog agregata

Glavna svojstva navedena su u tablici 2. Nadalje, količina sitnih čestica u otpadnoj čeličnoj trosci bila je niska (prolaznost do $0,08 \text{ mm}$ manja od 1 %). Osim toga, koeficijent jednolikosti bio je veći od dva, a koeficijent zakriviljenosti manji od jedan. Stoga je materijal SS dobro graduiran i kontinuiranoga granulometrijskog sastava. Svojstva plastičnosti čelične zgure nisu bila mjerljiva. Stoga je provedeno VB ispitivanje (eng. *Methylene blue value*) kako bi se tlo okarakteriziralo kao tlo niske plastičnosti. Izmjereni VB iznosio je $0,045 \text{ g}/100 \text{ g}$. Štoviše, ova čistoća čelične zgure rezultira malom količinom sitnih čestica, i poslijedice neosjetljivošću čelične zgure na vodu. Vrijednosti koeficijenata "Los Angeles" i MDE iznose 11 %, odnosno 8 %, što pokazuje da je čelična zgura vrlo krut materijal za mehaničku učinkovitost.

Modificirani Proctorov postupak za čeličnu zguru rezultira nekohezivnim materijalom zbog nedostatka sitnih čestica. Stoga je potrebno dodati takve čestice (razlog korištenja prirodnih sirovina) u otpadnu zguru kako bi se osigurala dobro

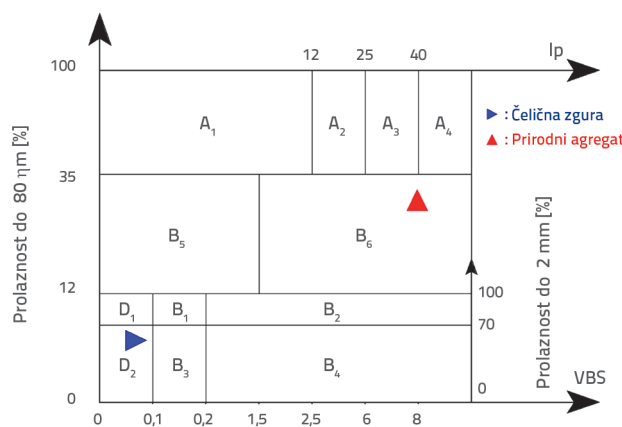
zbijanje [35]. Određivanje bubrenja izvršeno je mjerjenjem CBR-a nakon jednog mjeseca i pokazalo je da nije primijećena promjena volumena, što pokazuje da je uzeti uzorak imao razdoblje odležavanja. Laboratorijski testovi izvedeni na prirodnom agregatu pokazali su da granulometrijski sastav obiluje česticama veličine do $0,08 \text{ mm}$; prolaznost do $0,08 \text{ mm}$ je 12,6 %; a frakcija čestica veličine od 2 mm do 5 mm ima nizak postotak od približno 5 %, kao što je prikazano u tablici 2. Indeks VB iznosio je 3,9, što je pokazalo da prirodni agregat nije bio vrlo čist, ali je premašio lokalne zahtjeve. Prirodni agregati imaju bolju otpornost na predrobljavanje i habanje. Stoga su vrijednosti LA i MDE iznosile 18 % odnosno 13 %.

Tablica 2. Geotehnička i mehanička svojstva čelične zgure i prirodnog agregata

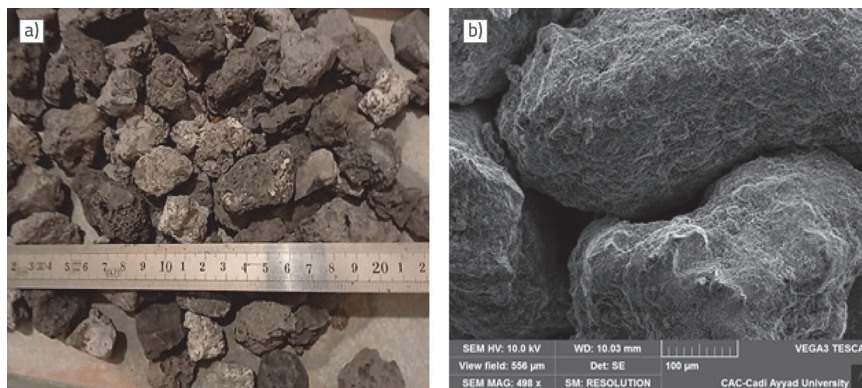
| Ispitivanje | Čelična zgura | Prirodni agregat |
|--|---------------|------------------|
| Specifična težina | 3,26 | 2,47 |
| Cu (koeficijent jednolikosti) | 12,7 | --- |
| Cc (koeficijent zakriviljenosti) | 0,96 | --- |
| Prolazak na $0,08 \text{ mm}$ [%] | 0,9 | 12,6 |
| Prolazak na 2 mm [%] | 28 | 22 |
| Prolazak na 5 mm [%] | 54 | 26 |
| Prolaznost na $31,5 \text{ mm}$ [%] | 100 | 97 |
| Kutnost [%] | 100 | 20 |
| Ekvivalent pijeska [%] | 79 | 22 |
| VB [g/100g] | 0,045 | 3,9 |
| Optimalni udio vlage (engl. <i>Optimum moisture content - OMC</i>) [%] | 4,2 | 10,9 |
| Maksimalna suha gustoća (engl. <i>Maximum dry density Immediate - MDD</i>) [g/cm ³] | 2,44 | 2,01 |
| LA [%] | 11 | 18 |
| MDE (engl. <i>Micro Deval coefficient</i>) [%] | 8 | 13 |
| Bubrenje [%] | <1 | --- |

Prema geotehničkim svojstvima čelične zgure i prirodnog agregata, temeljenima na Marokanskom vodiču za klasifikaciju tla (GMTR), čelična zgura može se klasificirati kao D2 tip tla neosjetljivog na vodu, a prirodni je agregat B6 tip glinovitog šljunka, kao što je prikazano na slici 6.

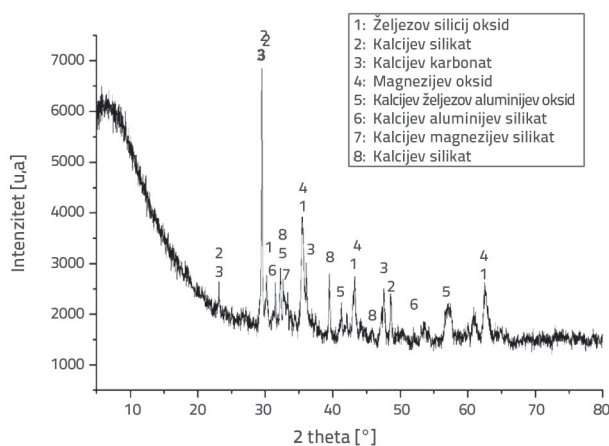
Kada se radi o morfologiji zgure, ona je imala nepravilne oblike s oštrim rubovima i niskom sferičnošću koja je varirala od poluzaobljenih do poluguščih, kao što je prikazano na slici 7. Za ispitivanje čestica zgure veličine praha korištena je SEM tehnologija. Utvrđeno je da imaju vrlo grubu teksturu površine i poroznu strukturu.



Slika 6. Klasifikacija čelične zgure na temelju GMTR priručnika



Slika 7. a) Morfologija krupnih čestica čelične zgure; b) SEM mikrografija koja prikazuje teksturu površine čestica čelične zgure veličine praha (500X)



Slika 8. RDX difrakcijski uzorci čelične zgure

Tablica 3. Kemijski sastav čelične zgure

| Oksidi | Al ₂ O ₃ | MgO | SiO ₂ | P ₂ O ₅ | Na ₂ O | KO ₂ | CaO | TiO ₂ | SO ₃ | MnO | Fe ₂ O ₃ | LOI |
|---------------------|--------------------------------|------|------------------|-------------------------------|-------------------|-----------------|-------|------------------|-----------------|------|--------------------------------|------|
| Kemijski sastav [%] | 7,59 | 4,15 | 15,31 | 0,45 | 1,05 | 0,05 | 29,31 | 0,60 | 1,76 | 3,78 | 31,23 | 2,70 |

Mineraloška analiza provedena je na prahu čelične zgure primjenom XRD difrakcije. Dobiveni rezultati prikazani su na slici 8. Difrakcijski uzorci pokazuju visoko kristalnu prirodu; prevladavajuće metalne faze u čeličnoj zguri su: silicijev i željezni oksid Fe₂9.5SiO_{0.05}O₄, kalcijev silikat: CaSiO₃, kalcijev karbonat: CaCO₃, magnezij-oksid MgO, kalcijev željezni aluminijev oksid: Ca₂FeAlO₅, kalcijev aluminijev silikat: Ca₂Al(AlSi)₂O₇, kalcijev magnezijev silikat: Ca₂Mg(SiO₄)₂, kalcijev silikat: Ca₂SiO₄. Ovi su rezultati u skladu s onima iz ispitivanja provedenih u literaturi, kao što je rad Tsakiridis i sur. i rad Barra i sur. [4, 27].

Analiza kemijskog sastava čelične zgure provedena je fluorescentnom rendgenskom spektrometrijom. Kemijski elementi navedeni su u tablici 3. Oksidi CaO, SiO₂, Fe₂O₃, Al₂O₃, MgO i FeO predstavljaju većinu kemijskih sastojaka čelične zgure. Nadalje, kemijska svojstva čelične zgure uvelike ovise o količinama oksida u korištenim sirovinama (lijevano željezo, otpadni metal, itd.), kemikalijama ili spojevima koji se dodaju tijekom procesa proizvodnje [37].

Što se tiče mineraloškog sastava (tablica 4.), kalcijev karbonat (CaCO₃) i silikat (Ca₂SiO₄) glavne su kristalne mineralne faze sadržane u čeličnoj zguri (tež. % = 62,7%). Nadalje, željezni silicij oksid i kalcijev aluminijev silikat predstavljaju približno 20%. Također su otkriveni niski udjeli mervinita, brownmillerita i periklase.

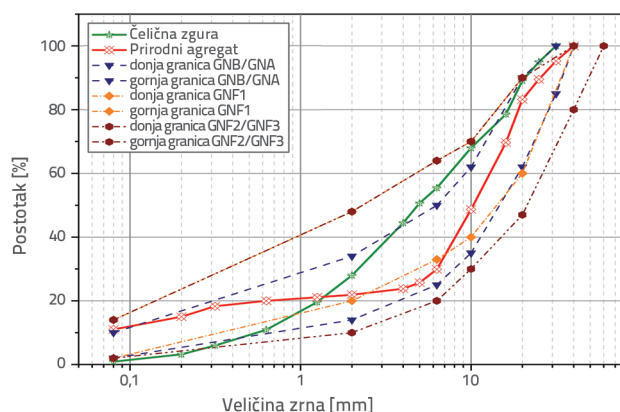
3.2. Definiranje mješavina

Otpadna čelična zgura sadrži malu količinu sitnih čestica (prolaznost do 0,08 mm je manja od 1%). Stoga granulometrijska krivulja zgure nije unutar graničnih krivulja ciljnih materijala, kao što je prikazano na slici 9. Budući da ciljani materijali općenito imaju između 2 i 14% sitnih čestica, veličina zrna čelične zgure mora se korigirati dodavanjem drugog materijala koji sadrži sitne čestice. Stoga je odabrani materijal bio prirodni otpadni agregat, a granulometrijska krivulja prikazana je na slici 9. Analizirani su mogući sastavi radi određivanja omjera dvaju otpadnih materijala kako bi se napravile mješavine koje zadovoljavaju granične granulometrijske krivulje, kao što je prikazano na slici 9. Nadalje, definirano je pet mješavina: M1 do M5. Pojedinosti o mješavinama navedene su u tablici 5. Izračunane granulometrijske krivulje mješavina prikazane su

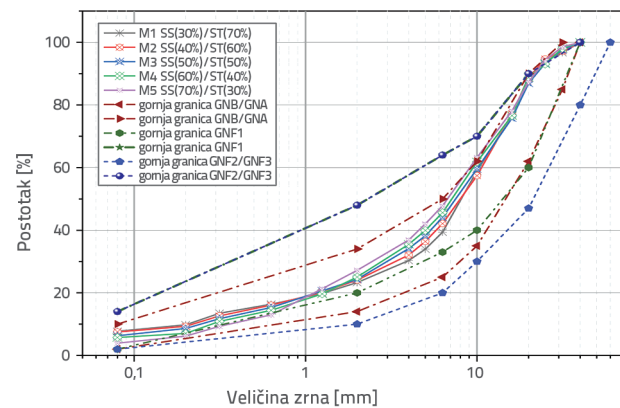
Tablica 4. Mineraloški sastav čelične zgure

| Mineraloški element | Kemijska formula | Težinski udio [%] |
|--|--|-------------------|
| Kalcijev karbonat | CaCO_3 | 41,2 |
| Kalcijev silikat (larnit) | Ca_2SiO_4 | 21,5 |
| Željezov silicij oksid | $\text{Fe}_{2.95}\text{Si}0.05\text{O}_4$ | 10,8 |
| Kalcijev aluminijev silikat (gehlenit) | $\text{Ca}_2(\text{Al}(\text{Al Si})\text{O}_7)$ | 9,4 |
| Kalcijev silikat (volastonit) | Ca Si O_3 | 6,2 |
| Kalcijev magnezijev silikat (mervinit) | $\text{Ca}_3\text{Mg}(\text{SiO}_4)_2$ | 4,5 |
| Kalcijev željezov aluminijev oksid (brownmillerit) | $\text{Ca}_2\text{FeAlO}_5$ | 4,5 |
| Magnezijev oksid (periklas) | MgO | 2 |

na slici 10. Granulometrijske krivulje svih mješavina su između graničnih krivulja za ciljane materijale. Nadalje, provedena su eksperimentalna ispitivanja svih mješavina kako bi se potvrdili rezultati proračuna krivulja.



Slika 9. Granulometrijska krivulja čelične zgure (SS), prirodnog agregata (ST) i granične granulometrije ciljanih materijala



Slika 10. Granulometrijske krivulje mješavina

Tablica 5. Omjeri svakog otpada u mješavini

| Mješavina | M1 | M2 | M3 | M4 | M5 |
|--------------------------------|----|----|----|----|----|
| Postotak otpadne čelične zgure | 30 | 40 | 50 | 60 | 70 |
| Postotak prirodnog agregata | 70 | 60 | 50 | 40 | 30 |

3.3. Mehanička svojstva napravljenih mješavina

Definirane mješavine (M1 do M5) podvrgнуте su nizu ispitivanja kako bi se ocijenila njihova mehanička i geotehnička svojstva, kao što su granulometrijska krivulja, ekvivalent pjeska, vrijednost metilenskog plavila, Proctorovi elementi i CBR ispitivanja. Dobiveni rezultati prikazani su u tablici 6. Nadalje, zamjena čelične zgure prirodnim agregatom utjecala je na sva tehnička svojstva. Dodavanjem prirodnog agregata u mješavine dolazi do povećanja udjela sitnih čestica (agregati manji od 0,08 mm), što rezultira granulometrijom u skladu s normama. Vrijednost metilenskog plavila mješavina smanjena je s 2,7 za mješavinu M1 na 0,7 za mješavinu M5, a time je vrijednost ekvivalenta pjeska u mješavina povećana s 24,3 % za mješavinu M1 na 63,9 % za mješavinu M5. Stoga povećanje udjela čelične zgure pozitivno utječe na čistoću mješavina. Što se tiče Proctorovog postupka, suha prostorna masa ovisi o udjelu zgure i varira od 2,28 za M1 do 2,41 za M5. Ova varijacija maksimalne suhe prostorne mase može se objasniti velikom specifičnom težinom čelične zgure u usporedbi s težinom prirodnog agregata. Osim toga, optimalna vlažnost smanjena je sa 6,3 % na 4,3 % zbog popunjavanja pora na površini zgure. CBR vrijednost za četiri dana potapanja dodana je zajedno s udjelom zgure kako bi se osiguralo da vrijednosti variraju od 58 % do 156 %. Nadalje, nosivost mješavina poboljšana je zbog vrlo uglatih zrna i cementirajućeg efekta čelične zgure. Dodavanjem prirodnog agregata u mješavinu sa čeličnom zgurom u omjerima od 30 do 70 % poboljšale su se granulometrijske krivulje čelične zgure radi dobivanja prikladnog materijala za upotrebu u gornjim i donjim nosivim slojevima kolničke konstrukcije. Varijacije u mehaničkim svojstvima (VB, OMC, MDD i CBR) mješavina prikazane su na slici 11. Provedena je regresijska analiza kako bi se dobila jednadžba regresije za svako svojstvo.

Tablica 6. Tehnička svojstva mješavina M1, M2, M3, M4 i M5

| Svojstvo | M1 | M2 | M3 | M4 | M5 |
|--------------------------|------|------|------|------|------|
| Prolazak na 0,08 mm [%] | 7,7 | 7,5 | 6,3 | 5,7 | 3,9 |
| Prolazak na 2 mm [%] | 23,3 | 24,1 | 24,3 | 25,1 | 27,2 |
| Prolazak na 5 mm [%] | 34,0 | 36,4 | 38,2 | 39,9 | 42,0 |
| Prolazak na 20 mm [%] | 89,1 | 88,6 | 87,0 | 88,8 | 87,4 |
| Uglatost I_c [%] | 45,4 | 51,2 | 57,5 | 66,8 | 75,1 |
| Ekvivalent pjeska [%] | 24,3 | 32,8 | 41,3 | 54,1 | 63,9 |
| VB (g/100g) [%] | 2,6 | 1,82 | 1,45 | 1,09 | 0,7 |
| OMC [%] | 6,3 | 5,9 | 5,2 | 4,6 | 4,3 |
| MDD [g/cm ³] | 2,28 | 2,32 | 2,34 | 2,37 | 2,41 |
| IPI [%] | 29 | 38 | 49 | 57 | 79 |
| CBR, nakon 4 dana [%] | 58 | 77 | 93 | 110 | 156 |

3.4. Ocjena primjenjivosti projektiranih mješavina u kolničkim konstrukcijama

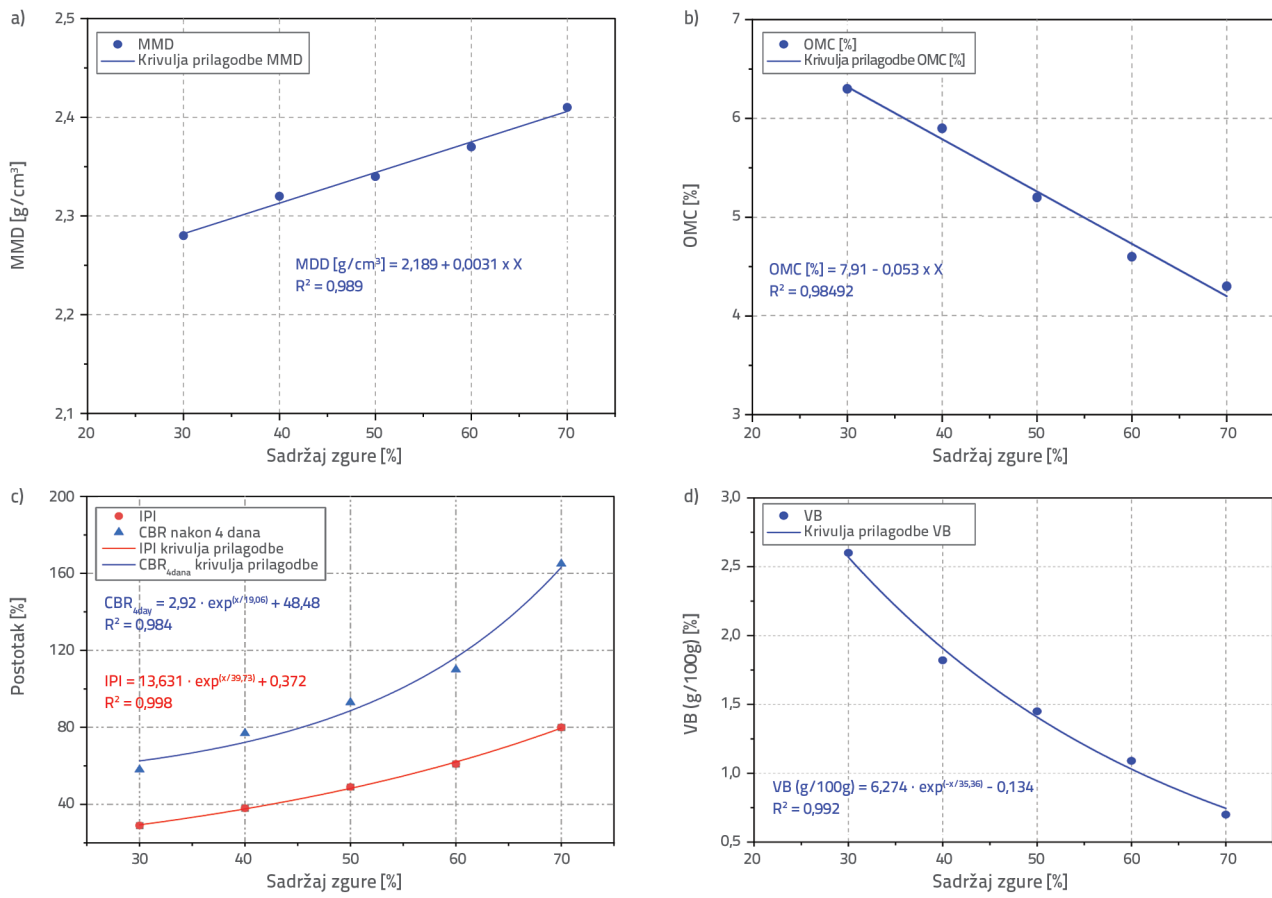
U ovom su dijelu procijenjena tehnička svojstva napravljenih mješavina M1 do M5 kako bi se ispitala i njihova primjenjivost u nosivim slojevima kolnika. Potencijalna uporaba ovih otpada u kolničkim slojevima zahtjeva provjeru mnogih uvjeta koji se tiču zahtijevanih karakteristika materijala koji su prikazani u tablici 1. Osim toga, mora se uzeti u obzir ključni uvjet koji se tiče CBR vrijednosti kako bi se donijela informirana odluka o oporabi tog otpada pri izgradnji cesta. CBR indeks mora biti veći od 100 % za materijale gornjeg nosivog sloja i 60 % za materijal donjeg nosivog sloja [38]. Nadalje, francuske smjernice zahtijevaju ispunjenje sljedećih uvjeta neposredne nosivosti: IBI > 50 za gornji nosivi sloj, a IBI > 35 za donji nosivi sloj [39]. Na temelju rezultata CBR i IBI (tablica 6.), mješavina M1 ne može se koristiti kao alternativni materijal niti za gornji niti donji nosivi sloj jer je njezin CBR manji od 60 % (58 % za M1). Utvrđene CBR vrijednosti veće su od 60 % (77 % i 93 % za M2 i M3) i mogu se koristiti za donje nosive slojeve. Međutim, ne preporučuje se njihovo korištenje za gornji nosivi sloj (CBR vrijednosti su manje od 100 %). Mješavine M4 i M5 mogu se koristiti kao alternativni materijali za oba nosiva sloja. Ukratko, mješavine M2, M3, M4 i M5 preporučuju se kao alternativni materijali za donji nosivi sloj. Štoviše, mješavine M4 i M5 preporučuju se kao alternativni materijali za gornji nosivi sloj. Mješavine koje potvrđuju CBR uvjet također moraju zadovoljiti tražene karakteristike (mehanička otpornost, čistoća, uglatost i veličina čestica) prikazane u tablici 1. GNA, GNB, GNC i GND te GNF1, GNF2 i GNF3 konvencionalni su materijali koji se koriste u Maroku za nosive slojeve. Stoga su rezultati iz tablice 6. za svako tehničko svojstvo svake mješavine uspoređeni s potrebnom karakterističnom vrijednošću kako bi se izradile tablice 7. i 8.

Tablica 7. Potencijalna upotreba mješavina M4 i M5 kao alternativnog materijala za gornji nosivi sloj

| Svojstvo | Mehanička otpornost | | Čistoća | |
|-----------|---------------------------|----|------------------|----|
| | Potvrđeno (V) ili ne (NV) | | | |
| Materijal | M4 | M5 | M4 | M5 |
| GNA | V | V | V | V |
| GNB | V | V | V | V |
| GNC | V | V | V | V |
| GND | V | V | V | V |
| Svojstvo | Kutnost | | Veličina čestica | |
| | Potvrđeno (V) ili ne (NV) | | | |
| Materijal | M4 | M5 | M4 | M5 |
| GNA | NV | NV | V | V |
| GNB | V | V | V | V |
| GNC | V | V | V | V |
| GND | V | V | V | V |

Potencijalna upotreba mješavina kao materijala za gornji nosivi sloj (za zamjenu GNA, GNB, GNC i GND) otkrila je da M4 i M5 zadovoljavaju sve tražene karakteristike osim oblika zrna GNA materijala. Nadalje, dodavanje prirodnog agregata (niske uglatosti zrna) čeličnoj zguri (visoke uglatosti zrna) smanjuje sveukupnu uglatost mješavine. M4 ili M5 ne mogu se koristiti kao GNA jer materijal mora imati visoku uglatost ($I_c > 100 \%$). Stoga se M4 i M5 preporučuju kao alternativni GNB, GNC i GND materijali.

Njihova upotreba kao materijala za donji nosivi sloj nije moguća jer M2 mješavina ne zadovoljava svojstva čistoće GNF1 i GNF2, kao ni kutnost GNF1. Osim toga, M3 ne ispunjava razred



Slika 11. Uklapanje tehničkih svojstava svih mješavina: a) za MMD; b) za OMC; c) za CBR i IPI; d) za VB

Tablica 8. Potencijalna upotreba mješavina kao alternativnog materijala za donji nosivi sloj

| Svojstvo | Mehanička otpornost | | | | | Čistoća | | | |
|-------------|---------------------------|----|----|----|----|------------------|----|----|--|
| | Potvrđeno (V) ili ne (NV) | | | | | | | | |
| Materijal | M2 | M3 | M4 | M5 | M2 | M3 | M4 | M5 | |
| GNF1 | V | V | V | V | NV | V | V | V | |
| GNF2 | V | V | V | V | NV | V | V | V | |
| GNF3 | V | V | V | V | V | V | V | V | |
| Svojstvo | Kutnost | | | | | Veličina čestica | | | |
| | Potvrđeno (V) ili ne (NV) | | | | | | | | |
| Materijal | M2 | M3 | M4 | M5 | M2 | M3 | M4 | M5 | |
| GNF1 | NV | NV | V | V | V | V | V | V | |
| GNF2 | V | V | V | V | V | V | V | V | |
| GNF3 | V | V | V | V | V | V | V | V | |

uglatosti zrna GNF1. Stoga se preporučuje korištenje mješavine M2 kao GNF3, mješavine M3 kao GNF2 i GNF3. Mješavine M4 i M5 mogu se koristiti u svim donjim nosivim slojevima (GNF1-2-3).

3.5. Projektiranje kolnika s utvrđenim mješavinama

U ovom se odjeljku prikazuje pokušaj projektiranja kolničke konstrukcije upotrebom definiranih mješavina otpada kao

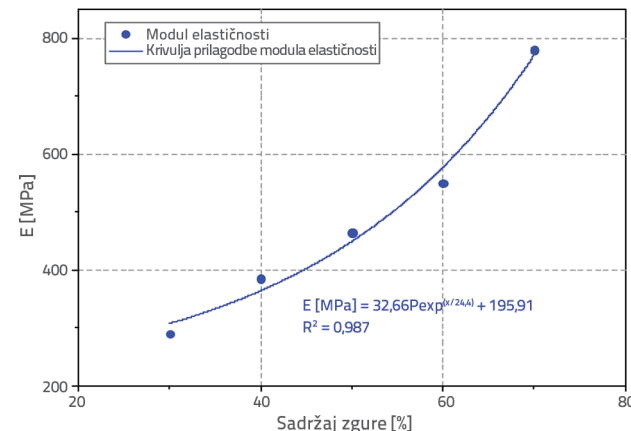
Tablica 9. Izrazi iz literature primjenjeni za procjenu modula elastičnosti

| Ime | Područja upotrebe | Izraz | Literatura |
|--|--|---------------------------------------|------------|
| Green i Hall (1975.) (Inženjerski korpus američke vojske) | Materijali za gornji i donji nosivi sloj, posteljicu | $E = 37 \cdot (\text{CBR})^{0.711}$ | [41] |
| Ministarstvo prometa države Georgia | Granulirani materijali (stabilizirani vapnenac) | $E = 31,16 \cdot (\text{CBR})^{0.49}$ | [42] |
| Powell i sur. (1984.) | Tlo i granulirani materijal | $E = 17,6 \cdot (\text{CBR})^{0.64}$ | [43] |
| Pappula (2008.) | Posteljica i nevezani granulirani materijal | $E = 9,79 \cdot \text{CBR}$ | [44] |
| Laboratoire Central des Ponts et Chaussées (LCPC) (1995.) | Materijal za gornji i donji nosivi sloj | $E = 5 \cdot \text{CBR}$ | [40] |

materijala za nosive slojeve. Glavni cilj je odrediti minimalnu debljinu tih slojeva koji sadrže jednu od projektiranih mješavina. Kolnička konstrukcija projektirana je prema francuskoj metodi dimenzioniranja [39]. To zahtijeva poznavanje modula elastičnosti korištenih materijala. U ovom je radu modul elastičnosti E mješavina procijenjen na temelju empirijskog odnosa između E i CBR-a. Tablica 9. prikazuje sažetak postojećih empirijskih jednadžbi u literaturi. Nadalje, procjena modula elastičnosti učinjena je pomoću empirijske jednadžbe francuskog laboratoriјa za istraživanja (LCPC) [40]. Procijenjene vrijednosti E navedene su u tablici 10., a krivulja regresije ovih rezultata prikazana je na slici 12.

Tablica 10. Procjena modula elastičnosti mješavina

| Mješavine | M1 | M2 | M3 | M4 | M5 |
|-----------|-----|-----|-----|-----|-----|
| E [MPa] | 290 | 385 | 465 | 550 | 780 |



Slika 12. Prilagodba modula elastičnosti svih mješavina

Za projektiranje kolničke konstrukcije primjenjen je program ALIZE-LCPC. ALIZE-LCPC je računalni program za izračun kolničke konstrukcije koji je izradio LCPC [39]. Taj se računalni program koristi za generiranje vrijednosti deformacije (ili naprezanja) na dnu sloja kolničke konstrukcije pod određenim prometnim opterećenjem na temelju Burmisterovog teorijskog modela [45]. Nadalje, većina kolničkih konstrukcija koje se koriste u Maroku

sastoji se od asfaltbetona (AC) u habajućem sloju i nevezanih granuliranih materijala (eng. *Untreated aggregate* - GNT) u nosivim slojevima. Vrijednosti dobivene iz programa ALIZE-LCPC za ovu vrstu konstrukcije uspoređuju se s dopuštenim vrijednostima kako bi se provjerila učinkovitost kolničkih konstrukcija koje sadrže utvrđene mješavine. Dimenzioniranje kolnika temelji se na određivanju prometa koji predstavlja broj prolazaka vozila kolnikom u određenom razdoblju. Ekvivalentni kumulativni promet (NE) odgovara kumulativnom broju ekvivalentnih osovina od 13 tona tijekom razmatranog životnog vijeka. Izračun je dobiven prema izrazu (1):

$$NE = N_{PL} \times CAM \quad (1)$$

pri čemu je N_{PL} kumulativni broj teških vozila, koju daje izraz (2), a CAM je prosječni faktor ekvivalencije (engl. *Average aggressiveness coefficient*).

$$N_{PL} = 365 \times TMJA \times C \quad (2)$$

pri čemu je TJMA prosječni godišnji dnevni promet, a C kumulativni faktor prometa za određeno vrijeme dano izrazom (3):

$$C = ((1 + \tau)^n - 1)/\tau \quad (3)$$

pri čemu je τ geometrijska stopa rasta prometa teških vozila u postocima, a n kumulativno razdoblje u godinama.

Prema poglavljiju 3.3, mješavine M4 i M5 mogu koristiti samo materijale iz kolničkih konstrukcija koje sadrže GNB-C-D u nosivom sloju. Nadalje, prema marokanskom priručniku, takve se kolničke konstrukcije primjenjuju za sljedeće prometne klase: TPL1 ($0 < \text{TMJA} \leq 5$), TPL2 ($5 < \text{TMJA} \leq 50$), TPL3 ($50 < \text{TMJA} \leq 125$). U ovom je istraživanju upotrijebljena gornja granica TMJA kako bi se pronašao kumulativni broj teških vozila (NPL) svake klase za dugotrajnu uporabljivost (20 godina) i za stopu rasta od 4 %, tj. TPL1 odgovara NPL1 = 5,037 104 teška vozila, a TPL2 odgovara NPL2 = 5,037 105 teških vozila, TPL3 odgovara NPL3 = 1,26 106 teških vozila. Vrijednosti TPL1, TPL2 i TPL3 ekvivalentne su vrijednostima TC1, TC2 i TC3 francuskog priručnika iz 1998. [46]. Vrijednosti dobivene iz programa ALIZE-LCPC za tipove

Tablica 11. Parametri za određivanje dopuštene deformacije asfaltbetona

| Parametri | ε_6 (10 °C, 25 Hz) | E (10 °C) [MPa] | E (20 °C) [MPa] | -1/b | Sh [m] | SN | KC | Kr | KS | CAM |
|-----------------------|--------------------------------|-----------------|-----------------|------|--------|------|-----|------|-------|-----|
| Bitumenski materijali | $100 \cdot 10^{-6}$ | 7200 | 3600 | 5 | 0,01 | 0,25 | 1,1 | 0,81 | 1/1,2 | 0,5 |

Tablica 12. Dopuštena deformacija prema prometnoj klasi

| Prometna klasa | TPL1 | TPL2 | TPL3 |
|--|--------|-------|-------|
| Rizik [%] | 30 | 18 | 18 |
| Dopuštena tangencijalna deformacija ($\varepsilon_{t,adm}$) [μdef] | 307,0 | 184,5 | 153,9 |
| Dopuštena vertikalna deformacija ($\varepsilon_{z,adm}$) [μdef] | 1446,2 | 650,5 | 530,8 |

Tablica 13. Izračunane debljine i deformacije za svaku nosivost posteljica prema TPL3

| Materijal | Pf1 | | | Pf2 | | | Pf3 | | | Pf4 | | |
|------------|---------------|------------------------|------------------------|---------------|------------------------|------------------------|---------------|------------------------|------------------------|---------------|------------------------|------------------------|
| | Debljina [cm] | ε_t [μdef] | ε_z [μdef] | Debljina [cm] | ε_t [μdef] | ε_z [μdef] | Debljina [cm] | ε_t [μdef] | ε_z [μdef] | Debljina [cm] | ε_t [μdef] | ε_z [μdef] |
| AC | 7 | 100,7 | 95,9 | 7 | 108,3 | 91,2 | 7 | 123,1 | 87,7 | 7 | 129,2 | 74,9 |
| M5 kao GNT | 20 | 148,6 | 503,6 | 20 | 160,8 | 510,9 | 15 | 189,8 | 520,5 | 20 | 240,5 | 527,8 |
| M3 kao GNT | 36 | 201,7 | 286,6 | 24 | 217,6 | 288,1 | 16 | 233,9 | 371,7 | 0 | 0 | 0 |
| Pfi | -- | 201,7 | 528,2 | -- | 217,6 | 526,2 | -- | 233,9 | 521,9 | -- | 240,5 | 527,7 |

konstrukcija koje su opterećene cestovnim prometom uspoređuju se s dopuštenim vrijednostima kako bi se potvrdile performanse kolničke konstrukcije koja sadrži projektirane mješavine. Dopuštena horizontalna vlačna deformacija ($\varepsilon_{t,adm}$) mora uzeti u obzir izraz (4) za bitumenske materijale:

$$\varepsilon_t < \varepsilon_{t,adm} = \varepsilon_6 \cdot [E(10^\circ\text{C})/(E(25^\circ\text{C})]^{1/2} \cdot (NE/10^6)^b \cdot K_c \cdot K_r \cdot K_s \quad (4)$$

gdje je:

- ε_t - horizontalna deformacija bitumenskih materijala
- ε_6 - deformacija uslijed milijuna opterećenja
- E - modul elastičnosti
- b - nagib linije zamora
- Sh - standardna devijacija debljine sloja
- K_r - koeficijent rizika
- K_c - kalibracijski koeficijent
- K_s - koeficijent ovisan o heterogenosti nosivosti podloge.

U tablici 11. prikazani su parametri za određivanje tangencijalne deformacije asfaltbetona. Za granulirane materijale dopuštena se vertikalna tlačna deformacija ($\varepsilon_{z,adm}$) izračunava prema izrazu (5):

$$\varepsilon_z < \varepsilon_{z,adm} = A \times (NE)^{-0,222} \quad (5)$$

pri čemu je A faktor jednak 0,016 za $NE < 2,5 \cdot 10^5$ i 0,012.

CAM iznosi jedan za granulirane materijale i 0,5 za bitumenske mješavine za korištene prometne klase. Tablica 12. prikazuje dopuštene vrijednosti deformacija prema prometnoj klasi.

Provadena je studija analize pomoću softvera ALIZE za kolničke koji sadrže kombinaciju mješavina M3, M4 i M5 (mješavine koje bi se mogle koristiti u slojevima kolničke konstrukcije). Nadalje, mješavine M4 i M5 koristit će se za gornji nosivi sloj, a mješavine M3 i M4 za doljnji nosivi sloj. Razmatrane su i različite postojeće nosivosti posteljice. U marokanskom priručniku navode se četiri vrste tla, točnije: Pf1, Pf2, Pf3 i Pf4 s modulima elastičnosti od 20, 50, 120, odnosno 200 MPa. Pretpostavlja se da su dodirne površine slojeva vezane.

Tablica 13. predstavlja analizu primjera kolničke konstrukcije koja sadrži mješavine M3 i M5 u dolnjem i gornjem nosivom sloju koji su podvrgnuti TPL3 prometu. Izračuni su provedeni za svaku nosivost posteljice (Pf1, Pf2, Pf3 i Pf4). Nadalje, uzete su u obzir dopuštene deformacije navedene u tablici 12. Minimalne debljine navedene su u tablici 13. Debljine su se smanjivale kako se povećavala nosivost tla. Osim toga, marokanske smjernice preporučaju debljine slojeva u rasponu od 4 do 7 cm za zastor, 10 do 20 cm za gornji nosivi sloj i 15 do 35 cm za doljnji nosivi sloj, ovisno o grupi prometnog opterećenja i nosivosti tla. Debljine (projektiranih mješavina) vrlo su slične onima (konvencionalnih materijala) navedenima u marokanskim smjernicama.

U tablici 14. prikazane su minimalne debljine oba nosiva sloja svake moguće kolničke konstrukcije s različitim kombinacijama projektiranih mješavina M3, M4 i M5. Kolničke konstrukcije 1 i 2 (konstrukcija 2 razvijena je u tablici 13.) pružaju razumne debljine koje su slične onima koje preporučuju marokanske smjernice. Osim toga, konstrukcija 3 provjerena je samo za TPL1 i ne preporučuje se za debljine TPL2 i TPL3.

Tablica 14. Debljine slojeva ceste koje sadrže M3, M4 i M5 i zadovoljavaju dopuštene deformacije

| Kolnička konstrukcija | Materijal | Debljina [cm] | | | | | | | | | | | |
|-----------------------|-----------|---------------|-----|-----|-----|------|-----|-----|-----|------|-----|-----|-----|
| | | TPL1 | | | | TPL2 | | | | TPL3 | | | |
| | | Pf1 | Pf2 | Pf3 | Pf4 | Pf1 | Pf2 | Pf3 | Pf4 | Pf1 | Pf2 | Pf3 | Pf4 |
| Konstrukcija 1 | AC | 4 | 4 | 4 | 4 | 5 | 5 | 5 | 5 | 7 | 7 | 7 | 7 |
| | GNT (M5) | 12 | 10 | 12 | 10 | 20 | 18 | 10 | 14 | 20 | 20 | 15 | 20 |
| | GNT (M4) | 16 | 10 | 0 | 0 | 29 | 21 | 10 | 0 | 34 | 22 | 15 | 0 |
| Konstrukcija 2 | AC | 4 | 4 | 4 | 4 | 5 | 5 | 5 | 5 | 7 | 7 | 7 | 7 |
| | GNT (M5) | 14 | 10 | 12 | 10 | 20 | 20 | 15 | 10 | 20 | 20 | 15 | 20 |
| | GNT (M3) | 15 | 11 | 0 | 0 | 32 | 20 | 15 | 10 | 36 | 24 | 16 | 0 |
| Konstrukcija 3 | AC | 4 | 4 | 4 | 4 | -- | -- | -- | -- | -- | -- | -- | -- |
| | GNT (M4) | 15 | 10 | 14 | 11 | -- | -- | -- | -- | -- | -- | -- | -- |
| | GNT M3) | 16 | 13 | 0 | 0 | -- | -- | -- | -- | -- | -- | -- | -- |

4. Zaključak

Provjedeno je eksperimentalno istraživanje kako bi se ispitala potencijalna upotreba otpadne čelične zgure kao alternativnog materijala za gornje i doljnje nosive slojeve kolnika. Provjedena je temeljita karakterizacija sirovine, čelične zgure, kako bi se utvrdila njezina kemijska, mineraloška, geotehnička i mehanička svojstva. Uzorci mješavina zgure i otpadnog drobljenog kamena podvrgnuti su laboratorijskim ispitivanjima radi utvrđivanja njihovih fizikalnih i geotehničkih svojstava. Rezultati su naponskretku potvrđeni zahtjevima nacionalnih normi. Osim toga, analizirano je dimenzioniranje kolničke konstrukcije za određivanje debljine slojeva kolnika koji sadrže otpadne mješavine. Doneseni su sljedeći zaključci:

- Mineraloška struktura čelične zgure je složena i bogata, a sadrži sljedeće mineralne faze: $Fe_2.95SiO_0.05O_4$, $CaSiO_3$, $CaCO_3$, MgO , Ca_2FeAlO_5 ; $Ca_2Al(AlSi)O_7$, $Ca_3Mg(SiO_4)_2$, Ca_2SiO_4 . Kemijska analiza zgure pokazuje da ona sadrži visoku razinu željeznoga oksida, Fe2O3, točnije 31,23 % i vapna, točnije 29,31 %, što rezultira većom gustoćom u usporedbi s prirodnim agregatima.
- Čelična zgura ima veću gustoću i izvrsnu otpornost na predoblagovanje u usporedbi s prirodnim agregatima. Veličina zrna čelične zgure ima utjecaj na njegovu sposobnost zbijanja i ne sadrži nikakvo punilo.

- Otpadna čelična zgura ne može se izravno upotrebljavati kao zamjena za nosive slojeve jer sadrži nizak udio punila. Preporučuje se mijesati otpadnu čeličnu zguru s drugim materijalom koji sadrži potreban udio punila. U ovom je istraživanju prirodnji otpadni materijal korišten za proizvodnju zamjene konvencionalnim materijalima iz otpada.
- CBR i IBI vrijednosti mješavina povećavaju se s udjelom zgure zbog morfologije zrna i otpornosti zgure na predoblagovanje, što nas dovodi do zaključka da dodatak čelične zgure granuliranim mješavinama povećava njihovu učinkovitost, kao što je prikazano na slici 11.c.
- Geotehnička i mehanička svojstva mješavina M4 (60 % SS-a) i M5 (70 % SS-a) zadovoljila su potrebna svojstva konvencionalnih materijala korištenih u gornjem nosivom sloju kolnika. Stoga se preporučuje koristiti najmanje 60 % otpadne zgure za proizvodnju takvog alternativnog materijala.
- Za donji nosivi sloj se preporučuju mješavine M2 (30 % SS-a) do M5.
- Projektirane debljine mješavina koje se koriste u kolničkim slojevima prihvatljive su i slične debljinama konvencionalnih materijala.

Zahvala

Ovo istraživanje nije dobilo nikakvu posebnu potporu od agencija za financiranje u javnom, komercijalnom ili neprofitnom sektoru.

LITERATURA

- [1] Shi, C.: Steel Slag-Its Production, Processing, Characteristics, and Cementitious Properties, *J. Mater. Civ. Eng.*, 16 (2004) 3, pp. 230-236, [https://doi.org/10.1061/\(ASCE\)0899-1561\(2004\)16:3\(230\)](https://doi.org/10.1061/(ASCE)0899-1561(2004)16:3(230)).
- [2] Motz, G.J.H.: Products of steel slags an opportunity to save natural resources, *Encycl. volcanoes*, (2020), pp. 662
- [3] Rees, F.: Mobilité des métaux dans les systèmes sol-plante-biochar, *Agronomie Université de Lorraine Français*, 2014., NNT: 2014LORR0293f
- [4] Barra, M., Ramonich, E.V., Munoz, M.A.: Stabilization of soils with steel slag and cement for application in rural and low traffic roads, *Beneficial Use of Recycled Materials in Transportation Applications*, (2001), pp. 423-432
- [5] Motz, H., Geiseler, J.: Products of steel slags an opportunity to save natural resources, *Waste Manag.*, 21 (2001) 3, pp. 285-293, [https://doi.org/10.1016/S0956-053X\(00\)00102-1](https://doi.org/10.1016/S0956-053X(00)00102-1).
- [6] Amrani, M., et al.: Feasibility of using phosphate wastes for enhancing high-temperature rheological characteristics of asphalt binder, *J. Mater. Cycles Waste Manag.*, 22 (2020) 5, pp. 1407-1417, <https://doi.org/10.1007/s10163-020-01026-1>.
- [7] Benahsina, A., El Haloui, Y., Taha, Y., Elomari, M., Bennouna, M.A.: Natural sand substitution by copper mine waste rocks for concrete manufacturing, *J. Build. Eng.*, 47 (2022), pp. 103817, Apr. 2022, <https://doi.org/10.1016/j.jobe.2021.103817>.
- [8] Amrani, M., Taha, Y., El Haloui, Y., Benzaazoua, M., Hakkou, R.: Sustainable reuse of coal mine waste: Experimental and economic assessments for embankments and pavement layer applications in morocco, *Minerals*, 10 (2020) 10, pp. 1-17, <https://doi.org/10.3390/min10100851>.
- [9] Aziz, M.M.A. Hainin, M.R., Yaacob, H., Ali, Z., Chang, F.L. Adnan, A.M.: Characterisation and utilisation of steel slag for the construction of roads and highways, *Mater. Res. Innov.*, 18 (2014) 12, pp. S6-255-S6-259, <https://doi.org/10.1179/1432891714Z.000000000967>
- [10] Akinwumi, I.: Soil modification by the application of steel slag, *Period. Polytech. Civ. Eng.*, 58 (2014) 4, pp. 371-377, <https://doi.org/10.3311/PPci.7239>.
- [11] Shahbazi, M., Rowshanzamir, M., Abtahi, S.M., Hejazi, S.M.: Optimization of carpet waste fibers and steel slag particles to reinforce expansive soil using response surface methodology, *Appl. Clay Sci.*, 142 (2017), pp. 185-192, <https://doi.org/10.1016/j.clay.2016.11.027>.
- [12] Wang, S., Li, X., Ren, K., Liu, C.: Experimental Research on Steel slag Stabilized Soil and its Application in Subgrade Engineering, *Geotech. Geol. Eng.*, 38 (2020) 5, pp. 4603-4615, <https://doi.org/10.1007/s10706-020-01313-6>.
- [13] Abdalqadir, Z., Salih, N.: An Experimental Study on Stabilization of Expansive Soil Using Steel Slag and Crushed Limestone, *Sulaimani J. Eng. Sci.*, 7 (2020) 1, pp. 35-46, <https://doi.org/10.17656/sjes.10120>.
- [14] Cikmit, A.A., Tsuchida, T., Hashimoto, R., Honda, H., Kang, G., Sogawa, K.: Expansion characteristic of steel slag mixed with soft clay, *Constr. Build. Mater.*, 227 (2019), pp. 116799, <https://doi.org/10.1016/j.conbuildmat.2019.116799>.
- [15] Zhang, T.S., Liu, F.T., Liu, S.Q., Zhou, Z.H., Cheng, X.: Factors influencing the properties of a steel slag composite cement, *Adv. Cem. Res.*, 20 (2008) 4, pp. 145-150, <https://doi.org/10.1680/adcr.2007.00024>.
- [16] Gao, T., Dai, T., Shen, L., Jiang, L.: Benefits of using steel slag in cement clinker production for environmental conservation and economic revenue generation, *J. Clean. Prod.*, 282 (2021), pp. 124538, <https://doi.org/10.1016/j.jclepro.2020.124538>.
- [17] Xiang, X.D., Xi, J.C., Li, C.H., Jiang, X.W.: Preparation and application of the cement-free steel slag cementitious material, *Constr. Build. Mater.*, 114 (2016), pp. 874-879, <https://doi.org/10.1016/j.conbuildmat.2016.03.186>.
- [18] Liu, J., Guo, R.: Applications of Steel Slag Powder and Steel Slag Aggregate in Ultra-High Performance Concrete, *Adv. Civ. Eng.*, (2018), <https://doi.org/10.1155/2018/1426037>.
- [19] Roychand, R., Kumar Pramanik, B., Zhang, G., Setunge, S.: Recycling steel slag from municipal wastewater treatment plants into concrete applications - A step towards circular economy, *Resour. Conserv. Recycl.*, 152 (2020) 10, pp. 104533, <https://doi.org/10.1016/j.resconrec.2019.104533>.
- [20] Wang, G., Chen, X., Dong, Q., Yuan, J., Hong, Q.: Mechanical performance study of pervious concrete using steel slag aggregate through laboratory tests and numerical simulation, *J. Clean. Prod.*, 262 (2020), pp. 121208, <https://doi.org/10.1016/j.jclepro.2020.121208>.
- [21] Shen, W., et al.: Ecological carbonated steel slag pervious concrete prepared as a key material of sponge city, *J. Clean. Prod.*, 256 (2020), pp. 120244, <https://doi.org/10.1016/j.jclepro.2020.120244>.
- [22] Maghool, F., Arulrajah, A., Horpibulsuk, S., Du, Y.J.: Laboratory Evaluation of Ladle Furnace Slag in Unbound Pavement-Base/Subbase Applications, *J. Mater. Civ. Eng.*, 29(2017)2, pp. 04016197, [https://doi.org/10.1061/\(asce\)mt.1943-5533.0001724](https://doi.org/10.1061/(asce)mt.1943-5533.0001724).
- [23] Gao, J., Sha, A., Wang, Z., Tong, Z., Liu, Z.: Utilization of steel slag as aggregate in asphalt mixtures for microwave deicing, *J. Clean. Prod.*, 152 (2017), pp. 429-442, <https://doi.org/10.1016/j.jclepro.2017.03.113>.
- [24] Wu, J., Liu, Q., Deng, Y., Yu, X., Feng, Q., Yan, C.: Expansive soil modified by waste steel slag and its application in subbase layer of highways, *Soils Found.*, 59 (2019) 4, pp. 955-965, <https://doi.org/10.1016/j.sandf.2019.03.009>.
- [25] Kim, K., Haeng Jo, S., Kim, N., Kim, H.: Characteristics of hot mix asphalt containing steel slag aggregate according to temperature and void percentage, *Constr. Build. Mater.*, 188 (2018), pp. 1128-1136, <https://doi.org/10.1016/j.conbuildmat.2018.08.172>.
- [26] Dondi, G., Mazzotta, F., Lantieri, C., Cuppi, F., Vignali, V., Sangiovanni, C.: Use of steel slag as an alternative to aggregate and filler in road pavements, *Materials*, 14 (2021) 2, pp. 1-13, <https://doi.org/10.3390/ma14020345>.
- [27] AFNOR: NF EN 1097-6: Tests for mechanical and physical properties of aggregates - Part 6: Determination of particle density and water absorption, 2013.
- [28] AFNOR: NF EN 933-1: Tests for geometrical properties of aggregates - Part 1: Determination of particle size distribution - Sieving method, 2012.
- [29] AFNOR: NF EN ISO 17892-12: Geotechnical investigation and testing - Laboratory testing of soil - Part 12: Determination of liquid and plastic limits, 2020.
- [30] AFNOR: P18-598 Aggregates, Sand equivalent, 1991.
- [31] AFNOR: NF-P18-598: P18-598 Octobre 1991 Granulats - Équivalent de sable - Granulate, 1991.

- [32] AFNOR: NF-P94-078: Sols : reconnaissance et essais - Indice CBR après immersion. Indice CBR immédiat. Indice Portant Immédiat - Mesure sur échantillon compacté dans le moule CBR, 1997.
- [33] AFNOR: NF P 18-573: Aggregates - Los angeles test, 1990.
- [34] AFNOR: NF P18-572 Aggregates - Micro-deval attribution test, 1990.
- [35] Maghool, F., Arulrajah, A., Du, Y.J., Horpibulsuk, S., Chinkulkijniwat, A.: Environmental impacts of utilizing waste steel slag aggregates as recycled road construction materials, *Clean Technol. Environ. Policy*, 19 (2017) 4, pp. 949-958, <https://doi.org/10.1007/s10098-016-1289-6>.
- [36] Tsakiridis, P.E., Papadimitriou, G.D., Tsivilis, S., Koroneos, C.: Utilization of steel slag for Portland cement clinker production, *J. Hazard. Mater.*, 152 (2008) 2, pp. 805-811, <https://doi.org/10.1016/j.jhazmat.2007.07.093>.
- [37] Yildirim, I.Z., Prezzi, M.: Geotechnical Properties of Fresh and Aged Basic Oxygen Furnace Steel Slag, *J. Mater. Civ. Eng.*, 27 (2015) 12, pp. 04015046, [https://doi.org/10.1061/\(asce\)mt.1943-5533.0001310](https://doi.org/10.1061/(asce)mt.1943-5533.0001310).
- [38] Mukabi, J.N.: Review of DCP Based CBR - UCS and Resilient Modulus Models for Applications in Highway and Airport Pavement Design, *Acad. E-Publication Pre-Print*, (2016) 7, pp. 1-19
- [39] SETRA, LCPC: Conception et dimensionnement des structures de chaussée - guide technique, 1994.
- [40] Dione, A.: Estimation du Module réversible de Graves Non traitées et modélisation par éléments finis de chaussées souples en vue d'un dimensionnement mécanistique-empirique, (2015) 8, pp. 150, <https://doi.org/10.13140/RG.2.1.4847.8961>.
- [41] Green, J.L., Hall, J.W.: Nondestructive vibratory testing of airport pavements, Volume I., Experimental test results and development of evaluation methodology and procedure, 1975.
- [42] George, K.P.: Prediction of Resilient Modulus From Soil Index Properties, Report No. FHWA/MS-DOT-RD-04-172, (2004) 11, pp. 72
- [43] Powell, W.D., Potter, J.F., Mayhew, H.C., Nunn, M.E.: The structural design of bituminous roads, *TRRL Lab. Rep.* No 1115, 1984.
- [44] Puppala, J.: Estimating Stiffness of Subgrade and Unbound Materials for Pavement Design, *Synthesis of Highway Practice*, Transportation Research Board (TRB), Washington DC, USA, 2008.
- [45] Burmister, D.M.: The theory of the stress and displacements in layered systems and applications of design of airport runway, *Proceeding Highw. Res. Board*, 1943., pp. 126-148
- [46] SETRA, LCPC: Catalogue des structures types de chaussées neuves, 1998.